

WYNIKI CIĄGLYCH POMIARÓW HAŁASU W ŚRODOWISKU DLA PORTU LOTNICZEGO IM. F. CHOPINA W WARSZAWIE

Nazwa obiektu: punkt pomiarowy nr 5 „Meral”

Data wykonania pomiaru:

początek: 01 - 02 - 2019

koniec: 28 - 02 - 2019

Lokalizacja punktu pomiarowego: Warszawa, ul. Czeresiñowa 98

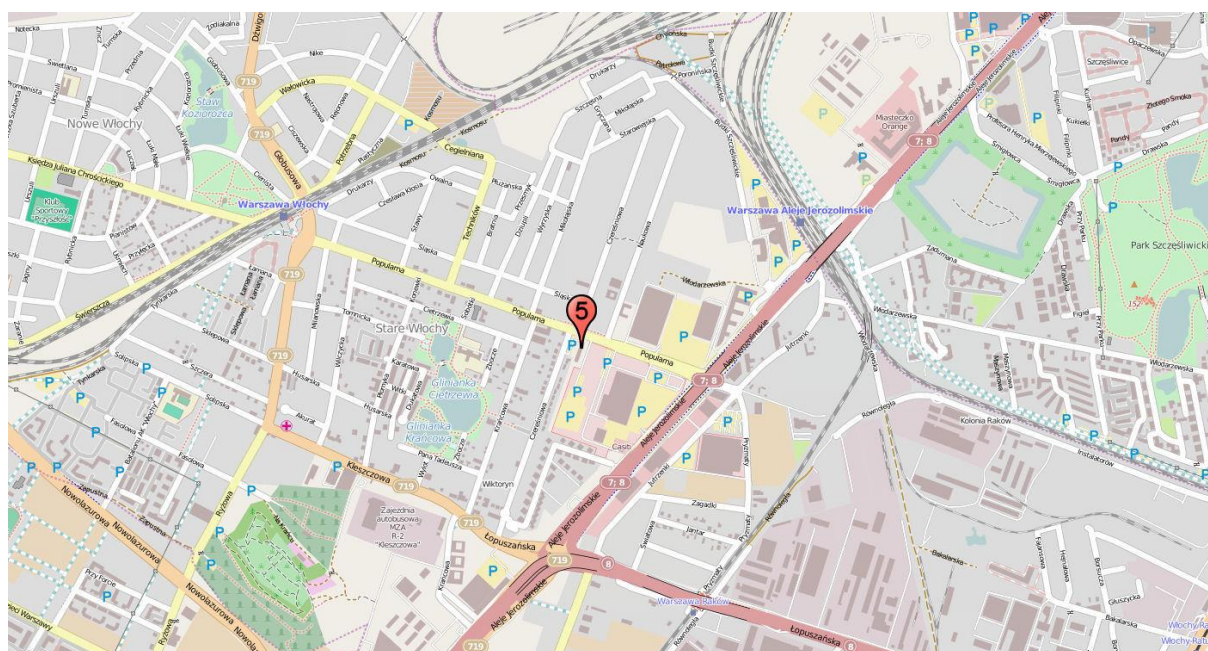
Układ współrzędnych: WGS 84

Szerokość geograficzna: N 52° 12' 08,4”

Długość geograficzna: E 20° 55' 48,2”

Względna wysokość punktu pomiarowego [m]: 24

Lokalizacja na planie:



Metoda badań:

Metoda ciągłych lub okresowych pomiarów monitoringowych: metodyka referencyjna, określona w załączniku nr 1 do rozporządzenia Ministra Środowiska z dnia 16.06.2011 w sprawie wymagań w zakresie prowadzenia pomiarów poziomów substancji lub energii w środowisku przez zarządzającego drogą, linią kolejową, linią tramwajową, lotniskiem, portem.

Metody obliczeniowe: jw.

Aparatura pomiarowa:

Analizator poziomu dźwięku (producent; nr typu): Lochard, EMU-2

Mikrofon/sonda mikrofonowa (producent; nr typu): Lochard, 41DM-2

Świadectwo uwierzytelnienia nr 1280.4-M24-4180-297/15 z dnia 16.11.2016 r. wydane przez Prezesa Głównego Urzędu Miar

Wzorzec akustyczny (producent; nr typu): Brüel & Kjær; 4228

Zestawienie zdarzeń akustycznych spowodowanych przelotami statków powietrznych w porze dnia (przedział czasu pomiędzy godz. 06.00 – 22.00)

| Data i godz. zdarzenia | Samolot | Operacja* | L _{Aeq} | L _{Amax} | L _{AE} |
|------------------------|---------|-----------|------------------|-------------------|-----------------|
| | | | [dB] | [dB] | [dB] |
| 01-02-2019 07:02:54 | B744 | A | 66,4 | 67,5 | 76,4 |
| 03-02-2019 13:51:42 | A332 | D | 79,8 | 86,0 | 94,8 |
| 03-02-2019 14:59:32 | B788 | D | 74,0 | 77,1 | 86,8 |
| 03-02-2019 15:08:50 | B788 | D | 72,6 | 76,3 | 86,0 |
| 03-02-2019 17:16:34 | B789 | D | 75,1 | 78,9 | 88,1 |
| 03-02-2019 18:34:34 | B788 | D | 73,5 | 78,3 | 87,1 |
| 04-02-2019 06:34:16 | B739 | D | 71,5 | 75,4 | 88,2 |
| 04-02-2019 06:37:56 | A321 | D | 72,9 | 78,3 | 89,4 |
| 04-02-2019 06:45:03 | A321 | D | 73,2 | 78,4 | 90,1 |
| 04-02-2019 06:56:25 | A321 | D | 72,7 | 77,4 | 87,4 |
| 04-02-2019 07:09:12 | A321 | D | 72,8 | 77,5 | 88,6 |
| 04-02-2019 07:54:05 | DH8D | D | 68,1 | 69,9 | 82,8 |
| 04-02-2019 08:11:03 | B738 | D | 71,4 | 74,9 | 89,0 |
| 04-02-2019 08:15:33 | B38M | D | 69,5 | 73,9 | 90,1 |
| 04-02-2019 08:17:49 | E195 | D | 70,5 | 76,3 | 88,1 |
| 04-02-2019 08:19:20 | E190 | D | 69,6 | 73,7 | 90,4 |
| 04-02-2019 08:23:44 | CRJ9 | D | 68,0 | 69,4 | 83,4 |
| 04-02-2019 08:30:04 | E170 | D | 67,6 | 69,8 | 80,8 |
| 04-02-2019 08:37:16 | B38M | D | 67,1 | 69,4 | 79,7 |
| 04-02-2019 09:05:47 | A319 | D | 68,0 | 69,1 | 77,0 |
| 04-02-2019 09:12:53 | CRJ9 | D | 67,5 | 68,5 | 77,5 |
| 04-02-2019 09:16:32 | AN26 | D | 67,7 | 69,3 | 78,1 |
| 04-02-2019 09:16:59 | AN26 | D | 68,9 | 72,0 | 82,9 |
| 04-02-2019 09:26:48 | DH8D | D | 67,8 | 68,2 | 79,5 |
| 04-02-2019 09:33:30 | E195 | D | 67,6 | 68,3 | 78,8 |
| 04-02-2019 09:33:49 | E195 | D | 67,5 | 68,4 | 81,7 |
| 04-02-2019 09:34:21 | E195 | D | 67,4 | 68,7 | 80,4 |
| 04-02-2019 09:51:28 | E75S | D | 67,0 | 67,8 | 78,8 |
| 04-02-2019 10:24:50 | A319 | D | 68,1 | 69,0 | 78,9 |
| 04-02-2019 10:26:23 | GLF5 | D | 68,2 | 71,2 | 79,3 |
| 04-02-2019 11:12:11 | B763 | D | 67,2 | 68,4 | 80,8 |
| 04-02-2019 11:26:32 | A320 | D | 67,6 | 69,1 | 77,6 |
| 04-02-2019 12:03:12 | B788 | D | 71,4 | 75,2 | 86,2 |
| 04-02-2019 13:15:32 | E190 | D | 67,4 | 68,4 | 77,8 |
| 04-02-2019 13:47:45 | E195 | D | 68,2 | 69,4 | 77,3 |
| 04-02-2019 13:54:43 | B788 | D | 71,5 | 73,9 | 85,1 |
| 04-02-2019 14:19:02 | A321 | D | 72,9 | 75,6 | 87,3 |
| 04-02-2019 14:22:20 | A319 | D | 75,0 | 80,0 | 89,8 |
| 04-02-2019 14:26:40 | E75S | D | 70,8 | 74,2 | 86,1 |
| 04-02-2019 14:33:03 | E75S | D | 72,4 | 75,4 | 88,2 |
| 04-02-2019 15:35:40 | B789 | D | 71,7 | 75,9 | 87,4 |
| 04-02-2019 16:04:40 | B788 | D | 71,1 | 74,0 | 85,1 |
| 04-02-2019 17:21:19 | B789 | D | 73,1 | 76,9 | 86,9 |
| 04-02-2019 17:41:55 | A332 | D | 67,3 | 70,0 | 77,3 |
| 05-02-2019 08:13:16 | AN26 | D | 68,0 | 70,4 | 81,2 |
| 05-02-2019 10:41:50 | DH8D | D | 67,8 | 70,0 | 79,6 |
| 05-02-2019 11:30:37 | B788 | D | 73,4 | 76,8 | 86,8 |
| 05-02-2019 15:18:35 | B789 | D | 73,0 | 76,4 | 86,6 |
| 05-02-2019 17:00:53 | B788 | D | 71,7 | 75,6 | 85,1 |

| Data i godz. zdarzenia | Samolot | Operacja* | L _{Aeq} | L _{Amax} | L _{AE} |
|------------------------|---------|-----------|------------------|-------------------|-----------------|
| | | | [dB] | [dB] | [dB] |
| 05-02-2019 17:03:15 | B789 | D | 73,7 | 77,8 | 87,6 |
| 05-02-2019 17:10:20 | A332 | D | 77,3 | 83,4 | 92,8 |
| 05-02-2019 17:17:22 | B789 | D | 72,9 | 76,8 | 86,3 |
| 06-02-2019 08:04:06 | AN26 | D | 70,3 | 74,2 | 82,9 |
| 06-02-2019 08:13:19 | A332 | D | 76,9 | 82,2 | 92,8 |
| 06-02-2019 09:17:31 | B788 | D | 72,5 | 75,0 | 86,5 |
| 06-02-2019 11:10:27 | E195 | D | 68,7 | 72,0 | 81,5 |
| 06-02-2019 12:33:38 | A321 | D | 82,3 | 88,9 | 92,7 |
| 06-02-2019 14:49:40 | B789 | D | 72,4 | 76,5 | 86,0 |
| 06-02-2019 15:47:18 | B789 | D | 72,4 | 75,1 | 85,8 |
| 06-02-2019 17:08:41 | B788 | D | 71,7 | 74,8 | 85,5 |
| 07-02-2019 10:17:31 | B738 | A | 69,8 | 72,5 | 81,5 |
| 07-02-2019 10:23:33 | A319 | A | 70,0 | 73,8 | 82,5 |
| 07-02-2019 19:20:47 | A321 | A | 67,2 | 70,2 | 76,2 |
| 08-02-2019 06:53:20 | B788 | D | 72,8 | 77,1 | 87,2 |
| 08-02-2019 08:07:47 | AN26 | D | 69,5 | 75,2 | 83,1 |
| 08-02-2019 15:12:17 | B733 | D | 67,4 | 68,5 | 78,2 |
| 08-02-2019 15:22:23 | B789 | D | 73,5 | 78,4 | 88,1 |
| 08-02-2019 15:34:03 | E195 | D | 66,9 | 67,7 | 76,4 |
| 08-02-2019 15:50:04 | B789 | D | 73,1 | 76,8 | 86,7 |
| 08-02-2019 20:11:47 | A320 | D | 71,1 | 73,8 | 85,6 |
| 09-02-2019 15:50:04 | B788 | D | 71,9 | 76,6 | 86,1 |
| 09-02-2019 15:57:36 | B789 | D | 73,2 | 76,8 | 87,2 |
| 09-02-2019 17:09:36 | B789 | D | 73,7 | 77,8 | 87,7 |
| 09-02-2019 17:15:27 | B789 | D | 71,3 | 74,7 | 85,9 |
| 09-02-2019 17:30:09 | A332 | D | 67,6 | 69,5 | 78,0 |
| 09-02-2019 19:49:56 | B789 | D | 72,3 | 75,5 | 85,9 |
| 10-02-2019 07:41:40 | DH8D | D | 70,3 | 73,6 | 81,0 |
| 10-02-2019 11:16:37 | A332 | D | 78,2 | 83,3 | 93,8 |
| 11-02-2019 06:18:30 | B38M | A | 67,8 | 69,3 | 79,6 |
| 11-02-2019 08:10:23 | AN26 | D | 70,0 | 71,8 | 82,3 |
| 11-02-2019 08:40:49 | B788 | D | 72,7 | 75,7 | 86,8 |
| 11-02-2019 11:13:21 | B788 | D | 70,5 | 75,1 | 85,2 |
| 11-02-2019 13:30:48 | E190 | D | 68,3 | 69,5 | 81,6 |
| 11-02-2019 15:11:46 | B789 | D | 71,7 | 74,7 | 85,5 |
| 11-02-2019 15:38:07 | B789 | D | 70,4 | 74,2 | 85,2 |
| 11-02-2019 16:11:25 | A333 | D | 67,7 | 70,6 | 77,7 |
| 11-02-2019 16:36:07 | E170 | D | 67,2 | 68,8 | 79,2 |
| 11-02-2019 17:06:56 | B789 | D | 71,9 | 75,3 | 86,3 |
| 11-02-2019 17:14:16 | B788 | D | 73,0 | 75,8 | 87,4 |
| 11-02-2019 17:35:25 | B788 | D | 72,3 | 75,2 | 87,0 |
| 12-02-2019 07:52:48 | AN26 | D | 69,6 | 73,8 | 83,4 |
| 12-02-2019 09:12:05 | B744 | D | 78,5 | 83,1 | 94,0 |
| 12-02-2019 11:14:22 | E75S | D | 68,0 | 70,9 | 80,1 |
| 12-02-2019 11:20:05 | B788 | D | 70,5 | 73,5 | 85,8 |
| 12-02-2019 11:43:11 | CRJ9 | D | 66,7 | 67,4 | 75,7 |
| 12-02-2019 14:57:52 | CRJ9 | D | 67,0 | 68,2 | 76,5 |
| 12-02-2019 15:22:30 | B735 | D | 68,0 | 73,1 | 83,2 |
| 12-02-2019 15:35:16 | CRJ9 | D | 67,3 | 70,5 | 80,7 |
| 12-02-2019 16:18:40 | B789 | D | 71,6 | 74,8 | 85,8 |
| 12-02-2019 17:05:51 | B789 | D | 72,5 | 76,9 | 87,0 |
| 12-02-2019 17:15:29 | B789 | D | 72,7 | 76,4 | 87,7 |
| 12-02-2019 17:25:09 | B788 | D | 70,6 | 73,7 | 84,9 |
| 13-02-2019 07:53:21 | AN26 | D | 70,6 | 74,1 | 84,2 |
| 13-02-2019 08:43:03 | E75S | D | 71,1 | 74,3 | 86,6 |

| Data i godz. zdarzenia | Samolot | Operacja* | L _{Aeq} | L _{Amax} | L _{AE} |
|------------------------|---------|-----------|------------------|-------------------|-----------------|
| | | | [dB] | [dB] | [dB] |
| 13-02-2019 08:45:08 | E75S | D | 71,1 | 75,5 | 88,3 |
| 13-02-2019 08:46:47 | E195 | D | 72,2 | 76,6 | 87,2 |
| 13-02-2019 09:26:33 | B744 | D | 76,9 | 83,4 | 93,3 |
| 13-02-2019 09:47:28 | B788 | D | 72,1 | 76,7 | 87,1 |
| 13-02-2019 10:42:04 | A320 | D | 67,3 | 68,2 | 79,1 |
| 13-02-2019 10:53:05 | E190 | D | 67,4 | 69,2 | 77,4 |
| 13-02-2019 11:44:51 | E195 | D | 68,5 | 71,2 | 78,9 |
| 13-02-2019 15:06:34 | B788 | D | 70,7 | 72,7 | 85,0 |
| 13-02-2019 15:44:36 | B789 | D | 71,9 | 76,3 | 87,1 |
| 13-02-2019 16:02:03 | A333 | D | 72,8 | 76,3 | 89,1 |
| 13-02-2019 16:56:46 | E195 | D | 69,6 | 73,3 | 83,0 |
| 13-02-2019 17:12:59 | B789 | D | 71,7 | 74,4 | 87,0 |
| 13-02-2019 17:23:50 | B789 | D | 72,8 | 79,7 | 88,2 |
| 13-02-2019 17:26:04 | B788 | D | 71,1 | 74,0 | 86,8 |
| 14-02-2019 08:01:06 | AN26 | D | 68,3 | 70,6 | 79,7 |
| 14-02-2019 12:08:36 | B744 | D | 68,9 | 71,1 | 80,7 |
| 14-02-2019 13:47:52 | A332 | D | 76,8 | 81,9 | 93,0 |
| 14-02-2019 14:40:46 | E170 | D | 69,9 | 75,5 | 85,8 |
| 14-02-2019 14:41:37 | A320 | D | 66,3 | 67,9 | 76,8 |
| 14-02-2019 15:28:59 | B789 | D | 72,9 | 76,1 | 86,9 |
| 14-02-2019 15:42:36 | B789 | D | 72,6 | 76,7 | 87,8 |
| 14-02-2019 17:11:54 | B789 | D | 72,3 | 75,4 | 86,3 |
| 14-02-2019 17:26:24 | B788 | D | 70,9 | 73,5 | 84,8 |
| 14-02-2019 17:39:32 | B789 | D | 72,6 | 76,2 | 86,8 |
| 14-02-2019 17:48:21 | B788 | D | 71,5 | 74,8 | 85,5 |
| 14-02-2019 20:39:55 | E170 | D | 70,4 | 72,7 | 83,2 |
| 15-02-2019 06:51:14 | B788 | D | 73,4 | 77,2 | 87,9 |
| 15-02-2019 08:17:40 | AN26 | D | 69,8 | 72,9 | 83,0 |
| 15-02-2019 14:49:52 | E75S | D | 68,6 | 70,5 | 83,2 |
| 15-02-2019 15:10:13 | B789 | D | 72,5 | 76,2 | 87,7 |
| 15-02-2019 15:52:11 | AN30 | D | 68,3 | 71,3 | 80,3 |
| 15-02-2019 16:04:22 | B788 | D | 71,7 | 74,9 | 85,5 |
| 15-02-2019 17:19:37 | B789 | D | 70,6 | 73,5 | 83,6 |
| 15-02-2019 17:22:33 | B789 | D | 70,8 | 73,4 | 83,4 |
| 15-02-2019 17:28:28 | B789 | D | 70,8 | 73,7 | 83,6 |
| 15-02-2019 17:38:21 | B788 | D | 70,3 | 72,7 | 82,9 |
| 16-02-2019 07:54:29 | E195 | D | 70,5 | 73,1 | 83,7 |
| 16-02-2019 08:07:23 | A332 | D | 76,2 | 80,5 | 90,7 |
| 16-02-2019 11:24:51 | B788 | D | 70,4 | 73,6 | 84,4 |
| 16-02-2019 13:18:32 | SU95 | D | 67,6 | 68,7 | 79,7 |
| 16-02-2019 15:35:40 | B789 | D | 71,7 | 75,0 | 85,7 |
| 16-02-2019 16:40:31 | E75S | D | 77,3 | 81,8 | 89,1 |
| 16-02-2019 17:26:41 | B789 | D | 73,0 | 76,2 | 86,5 |
| 16-02-2019 17:44:20 | B788 | D | 70,4 | 72,9 | 84,2 |
| 17-02-2019 08:53:38 | A333 | D | 75,0 | 79,6 | 90,9 |
| 17-02-2019 10:52:17 | A332 | D | 66,8 | 68,5 | 78,8 |
| 17-02-2019 15:18:16 | B788 | D | 72,3 | 75,4 | 85,9 |
| 17-02-2019 15:35:05 | B789 | D | 73,6 | 77,2 | 87,6 |
| 17-02-2019 17:06:48 | B789 | D | 72,9 | 76,0 | 87,0 |
| 17-02-2019 17:19:01 | B789 | D | 73,7 | 77,6 | 87,9 |
| 17-02-2019 17:55:01 | B789 | D | 73,2 | 77,4 | 88,0 |
| 17-02-2019 18:43:23 | B788 | D | 72,2 | 76,0 | 86,7 |
| 17-02-2019 20:42:53 | E195 | D | 73,8 | 80,2 | 86,5 |
| 18-02-2019 11:19:05 | B788 | D | 71,6 | 74,3 | 85,4 |
| 18-02-2019 13:47:54 | E75S | A | 67,4 | 73,1 | 77,0 |

| Data i godz. zdarzenia | Samolot | Operacja* | L _{Aeq} | L _{Amax} | L _{AE} |
|------------------------|---------|-----------|------------------|-------------------|-----------------|
| | | | [dB] | [dB] | [dB] |
| 18-02-2019 15:28:19 | E75S | A | 68,7 | 71,7 | 81,7 |
| 18-02-2019 15:48:06 | CRJ9 | A | 72,2 | 75,0 | 88,1 |
| 18-02-2019 16:24:55 | A319 | A | 69,6 | 72,0 | 84,9 |
| 18-02-2019 17:57:02 | C25C | A | 66,0 | 67,4 | 75,0 |
| 19-02-2019 07:36:51 | SF34 | D | 68,0 | 69,6 | 78,0 |
| 19-02-2019 11:18:22 | b788 | D | 72,7 | 75,1 | 85,5 |
| 19-02-2019 12:58:43 | B763 | D | 75,0 | 79,5 | 89,8 |
| 19-02-2019 13:26:21 | E195 | D | 74,1 | 75,8 | 84,5 |
| 19-02-2019 13:26:38 | E195 | D | 77,3 | 79,3 | 90,3 |
| 19-02-2019 13:33:29 | B77W | D | 74,4 | 75,6 | 84,4 |
| 19-02-2019 15:37:21 | B789 | D | 74,5 | 78,8 | 89,5 |
| 19-02-2019 16:54:55 | E170 | D | 71,1 | 74,3 | 82,9 |
| 19-02-2019 16:56:34 | B738 | D | 71,1 | 74,9 | 84,3 |
| 19-02-2019 16:58:30 | E195 | D | 69,5 | 72,3 | 82,0 |
| 19-02-2019 17:01:32 | E75S | D | 66,7 | 69,0 | 76,7 |
| 19-02-2019 17:05:46 | B789 | D | 71,9 | 77,6 | 88,5 |
| 19-02-2019 17:13:38 | B789 | D | 73,4 | 76,3 | 86,8 |
| 19-02-2019 17:31:06 | B789 | D | 73,7 | 77,9 | 88,8 |
| 20-02-2019 06:36:11 | E75S | A | 68,2 | 70,4 | 78,6 |
| 20-02-2019 08:14:38 | AN26 | D | 69,5 | 74,1 | 83,8 |
| 20-02-2019 09:16:38 | B744 | D | 69,0 | 70,0 | 78,1 |
| 20-02-2019 09:26:43 | B788 | D | 71,9 | 75,4 | 86,8 |
| 20-02-2019 10:01:25 | BCS3 | D | 67,5 | 69,1 | 77,5 |
| 20-02-2019 10:30:31 | E190 | D | 67,8 | 70,5 | 78,2 |
| 20-02-2019 10:32:37 | A320 | D | 69,9 | 73,8 | 79,9 |
| 20-02-2019 10:57:11 | E170 | D | 66,8 | 68,1 | 78,2 |
| 20-02-2019 11:04:59 | CRJ7 | D | 67,1 | 68,8 | 77,1 |
| 20-02-2019 11:11:51 | B738 | D | 66,7 | 67,6 | 76,7 |
| 20-02-2019 11:16:38 | C56X | D | 67,4 | 68,3 | 81,4 |
| 20-02-2019 11:44:03 | E170 | D | 67,6 | 69,4 | 78,0 |
| 20-02-2019 13:10:23 | A332 | D | 66,7 | 68,3 | 77,8 |
| 20-02-2019 14:58:21 | B789 | D | 73,3 | 78,1 | 89,3 |
| 20-02-2019 15:05:04 | B735 | D | 67,6 | 69,6 | 78,4 |
| 20-02-2019 15:41:06 | B789 | D | 71,5 | 74,1 | 85,5 |
| 20-02-2019 16:00:50 | A333 | D | 75,0 | 80,3 | 90,9 |
| 20-02-2019 17:05:10 | B789 | D | 72,6 | 76,6 | 86,7 |
| 20-02-2019 17:12:44 | B788 | D | 70,9 | 73,6 | 85,6 |
| 20-02-2019 17:15:44 | B734 | D | 68,0 | 69,5 | 77,1 |
| 21-02-2019 06:55:47 | A319 | D | 68,3 | 70,3 | 84,8 |
| 21-02-2019 06:59:47 | A319 | D | 68,3 | 71,5 | 81,5 |
| 21-02-2019 08:40:50 | B788 | D | 73,6 | 76,1 | 87,0 |
| 21-02-2019 09:39:00 | A321 | D | 67,9 | 68,6 | 81,1 |
| 21-02-2019 11:49:00 | A332 | D | 75,3 | 80,0 | 91,2 |
| 21-02-2019 13:21:23 | E170 | D | 67,4 | 68,2 | 78,5 |
| 21-02-2019 14:44:31 | A320 | D | 67,5 | 68,8 | 79,5 |
| 21-02-2019 15:16:00 | B789 | D | 72,3 | 76,3 | 87,1 |
| 21-02-2019 15:34:41 | DH8D | D | 66,9 | 67,7 | 79,7 |
| 21-02-2019 16:10:27 | B788 | D | 70,2 | 72,9 | 85,0 |
| 21-02-2019 16:23:28 | B38M | D | 66,9 | 67,9 | 79,2 |
| 21-02-2019 17:02:06 | B789 | D | 71,5 | 74,2 | 85,1 |
| 21-02-2019 17:34:53 | B789 | D | 71,7 | 76,4 | 87,9 |
| 21-02-2019 19:59:14 | DH8D | D | 67,5 | 68,7 | 80,7 |
| 22-02-2019 09:10:23 | CRJ7 | A | 67,2 | 70,1 | 77,2 |
| 22-02-2019 09:25:06 | E195 | A | 68,4 | 70,5 | 79,2 |
| 22-02-2019 15:07:49 | B789 | D | 70,9 | 74,5 | 84,5 |

| Data i godz. zdarzenia | Samolot | Operacja* | L _{Aeq} | L _{Amax} | L _{AE} |
|------------------------|---------|-----------|------------------|-------------------|-----------------|
| | | | [dB] | [dB] | [dB] |
| 22-02-2019 15:56:38 | B789 | D | 71,5 | 74,5 | 84,5 |
| 22-02-2019 17:16:48 | B789 | D | 70,4 | 72,8 | 83,2 |
| 22-02-2019 17:41:54 | B789 | D | 72,9 | 76,7 | 87,4 |
| 22-02-2019 17:53:30 | B788 | D | 69,4 | 71,4 | 82,2 |
| 22-02-2019 18:34:31 | B788 | D | 70,0 | 72,3 | 82,3 |
| 23-02-2019 08:04:49 | A332 | D | 75,9 | 81,9 | 91,5 |
| 23-02-2019 11:25:51 | B788 | D | 72,3 | 75,7 | 85,9 |
| 23-02-2019 15:57:54 | B788 | D | 71,0 | 74,0 | 84,8 |
| 23-02-2019 16:06:01 | B789 | D | 72,0 | 75,8 | 86,0 |
| 23-02-2019 17:12:42 | B789 | D | 73,2 | 75,9 | 86,2 |
| 23-02-2019 17:18:20 | B789 | D | 71,7 | 74,9 | 85,1 |
| 23-02-2019 17:30:58 | B789 | D | 71,1 | 74,2 | 84,9 |
| 23-02-2019 20:23:28 | E75S | D | 69,9 | 71,2 | 82,7 |
| 24-02-2019 13:58:55 | E195 | D | 70,6 | 73,8 | 84,8 |
| 24-02-2019 15:09:34 | B789 | D | 72,3 | 75,6 | 86,3 |
| 24-02-2019 15:14:54 | B788 | D | 72 | 75,2 | 85,6 |
| 24-02-2019 17:15:37 | B789 | D | 72,6 | 76,7 | 86,9 |
| 24-02-2019 17:18:59 | B789 | D | 75,5 | 80,1 | 90,4 |
| 25-02-2019 08:03:59 | AN26 | D | 67,9 | 70,1 | 79,6 |
| 25-02-2019 10:08:37 | A320 | D | 68,8 | 71,2 | 81,8 |
| 25-02-2019 11:15:09 | B788 | D | 69,7 | 72,8 | 84,1 |
| 25-02-2019 13:53:59 | B788 | D | 71,3 | 75,1 | 85,9 |
| 25-02-2019 15:54:36 | B789 | D | 73,3 | 77,8 | 87,5 |
| 25-02-2019 17:36:50 | B788 | D | 71,2 | 74,9 | 84,4 |
| 25-02-2019 17:54:05 | B789 | D | 72,8 | 76,7 | 86,1 |
| 26-02-2019 07:17:31 | B788 | D | 68,8 | 71,5 | 83,2 |
| 26-02-2019 08:11:33 | AN26 | D | 67,4 | 69,4 | 77,4 |
| 26-02-2019 13:15:39 | A320 | D | 68,6 | 71,5 | 80,4 |
| 26-02-2019 14:36:06 | E170 | D | 72,4 | 75,7 | 81,4 |
| 26-02-2019 14:36:22 | E170 | D | 73,2 | 76,2 | 87,6 |
| 26-02-2019 15:17:53 | B789 | D | 74,1 | 78,2 | 89,4 |
| 26-02-2019 15:22:22 | A319 | D | 67,1 | 69,4 | 77,9 |
| 26-02-2019 15:25:10 | E195 | D | 68,5 | 71,2 | 82,4 |
| 26-02-2019 15:29:07 | DH8D | D | 71,4 | 73,6 | 83,5 |
| 26-02-2019 16:15:44 | GL5T | D | 68,1 | 69,2 | 77,2 |
| 26-02-2019 16:34:30 | E75S | D | 67,8 | 69,7 | 77,8 |
| 26-02-2019 16:49:10 | E195 | D | 69,6 | 73,1 | 83 |
| 26-02-2019 17:09:23 | B789 | D | 71,4 | 75,8 | 86,4 |
| 26-02-2019 17:19:57 | B788 | D | 70,2 | 72,6 | 84,6 |
| 26-02-2019 17:27:25 | B788 | D | 69,8 | 72,6 | 84,2 |
| 26-02-2019 17:38:03 | B789 | D | 71,6 | 75,4 | 86,1 |
| 26-02-2019 17:53:06 | A321 | D | 69,3 | 72,6 | 80,4 |
| 26-02-2019 20:34:04 | E195 | D | 69,6 | 72,1 | 82,2 |
| 27-02-2019 08:01:30 | E195 | D | 66,3 | 67,3 | 75,8 |
| 27-02-2019 08:06:22 | AN26 | D | 67,7 | 69,1 | 79,7 |
| 27-02-2019 08:25:18 | A332 | D | 77,2 | 82,5 | 93,4 |
| 27-02-2019 09:04:59 | B744 | D | 67,7 | 69,2 | 77,2 |
| 27-02-2019 11:59:29 | B788 | D | 71,4 | 74,9 | 86,2 |
| 27-02-2019 15:20:35 | B789 | D | 74,4 | 78,7 | 88,8 |
| 27-02-2019 15:57:35 | B788 | D | 72,4 | 75,1 | 86 |
| 27-02-2019 16:04:46 | A333 | D | 75,5 | 79,9 | 91,3 |
| 28-02-2019 08:25:34 | AN26 | D | 68,3 | 72 | 82,3 |
| 28-02-2019 09:32:45 | E75S | D | 67,2 | 69,7 | 78,9 |
| 28-02-2019 09:40:41 | B744 | D | 68,2 | 69,7 | 77,2 |
| 28-02-2019 09:40:57 | B744 | D | 67,4 | 69,3 | 78,2 |

| Data i godz. zdarzenia | Samolot | Operacja* | L _{Aeq} | L _{Amax} | L _{AE} |
|------------------------|---------|-----------|------------------|-------------------|-----------------|
| | | | [dB] | [dB] | [dB] |
| 28-02-2019 10:44:40 | DH8D | D | 66,9 | 68,8 | 78,4 |
| 28-02-2019 11:17:51 | B738 | D | 67,9 | 71,9 | 80,7 |
| 28-02-2019 12:06:20 | B734 | D | 69,4 | 73,2 | 82,6 |
| 28-02-2019 12:08:13 | B734 | D | 67,1 | 69,7 | 80,1 |
| 28-02-2019 13:01:44 | B737 | D | 69,4 | 73,2 | 82,5 |
| 28-02-2019 13:08:43 | E75S | D | 70,2 | 74,9 | 85 |
| 28-02-2019 13:11:20 | A319 | D | 66,0 | 68,7 | 77,1 |
| 28-02-2019 14:31:17 | E170 | D | 71 | 74,7 | 84 |
| 28-02-2019 14:44:40 | A319 | D | 71 | 75,4 | 87,4 |
| 28-02-2019 14:58:31 | CRJ9 | D | 70,3 | 72,5 | 83,1 |
| 28-02-2019 14:58:55 | CRJ9 | D | 69,2 | 71,4 | 80,9 |
| 28-02-2019 15:04:56 | E195 | D | 66,9 | 69,9 | 78,0 |
| 28-02-2019 15:48:46 | B789 | D | 71,1 | 74,7 | 85,5 |
| 28-02-2019 16:10:40 | B788 | D | 71,3 | 74,2 | 85,2 |
| 28-02-2019 16:48:19 | E75S | D | 66,8 | 68,6 | 77,6 |
| 28-02-2019 16:53:25 | B788 | D | 70,2 | 73,6 | 86,3 |
| 28-02-2019 17:13:58 | B789 | D | 72,2 | 75,7 | 85,4 |
| 28-02-2019 17:27:39 | B789 | D | 74,5 | 78,0 | 89,0 |
| 28-02-2019 17:46:06 | A343 | D | 78,7 | 83,5 | 94,5 |
| 28-02-2019 17:55:59 | A321 | A | 71,7 | 75,4 | 84,9 |
| 28-02-2019 18:18:07 | B744 | D | 84,2 | 90,7 | 99,5 |
| 28-02-2019 19:16:17 | B789 | D | 70,6 | 74,6 | 85,4 |

LEGENDA

- Samolot – typ statku powietrznego
- Operacja: A – lądowanie, D – start
- L_{Aeq} – równoważny poziom dźwięku dla zdarzenia akustycznego
- L_{Amax} – maksymalny poziom dźwięku dla zdarzenia akustycznego
- L_{AE} – ekspozycyjny poziom dźwięku dla zdarzenia akustycznego
- Kolorem niebieskim oznaczono zdarzenia akustyczne, które miały miejsce w czasie gdy nie były spełnione warunki meteorologiczne¹.

¹ Warunki meteorologiczne określone w punkcie D "Referencyjnej metodyki wykonywania ciągłych pomiarów poziomów hałasu wprowadzanego do środowiska przez starty, lądowania i przeloty statków powietrznych w związku z eksploatacją lotnisk oraz kryteria lokalizacji punktów pomiarowych" (Załącznik nr 1 do rozporządzenia Ministra Środowiska z dnia 16 czerwca 2011 r. w sprawie wymagań w zakresie prowadzenia pomiarów poziomów substancji lub energii w środowisku przez zarządzającego drogą, linią kolejową, linią tramwajową, lotniskiem lub portem).

Zestawienie zdarzeń akustycznych spowodowanych przelotami statków powietrznych w porze nocy (przedział czasu pomiędzy godz. 22.00 – 06.00)

| Data i godz. Zdarzenia | Samolot | Operacja* | L _{Aeq} [dB] | L _{Amax} [dB] | L _{AE} [dB] |
|------------------------|---------|-----------|--------------------------|---------------------------|-------------------------|
| 01-02-2019 22:42:49 | A320 | A | 63,0 | 63,5 | 72,6 |
| 04-02-2019 22:59:32 | CRJ9 | D | 63,2 | 64,2 | 72,7 |
| 04-02-2019 23:17:30 | B788 | D | 70,6 | 76,1 | 86,4 |
| 05-02-2019 22:51:27 | E75S | D | 63,0 | 64,7 | 75,0 |
| 05-02-2019 23:14:10 | E170 | D | 63,0 | 64,8 | 73,8 |
| 05-02-2019 23:25:16 | B788 | D | 70,9 | 74,8 | 85,8 |
| 06-02-2019 22:05:52 | B752 | D | 63,9 | 64,9 | 79,8 |
| 08-02-2019 00:18:44 | B788 | D | 70,7 | 75,1 | 85,9 |
| 08-02-2019 22:13:42 | B738 | D | 63,3 | 64,0 | 75,6 |
| 08-02-2019 22:43:30 | A320 | A | 70,5 | 74,6 | 86,1 |
| 08-02-2019 23:19:08 | E190 | D | 63,6 | 65,4 | 75,4 |
| 08-02-2019 23:25:01 | B738 | D | 62,9 | 64,3 | 74,3 |
| 08-02-2019 23:29:02 | E170 | D | 64,0 | 65,4 | 77,2 |
| 09-02-2019 22:45:31 | DH8D | D | 63,8 | 66,4 | 73,8 |
| 09-02-2019 23:20:23 | B788 | D | 71,2 | 75,8 | 86,4 |
| 10-02-2019 22:16:43 | DH8D | A | 66,9 | 70,5 | 78,7 |
| 11-02-2019 22:43:23 | DH8D | D | 63,0 | 65,4 | 75,6 |
| 11-02-2019 23:14:37 | B788 | D | 71,4 | 76,6 | 86,6 |
| 12-02-2019 22:41:16 | E195 | D | 64,2 | 65,0 | 73,8 |
| 12-02-2019 23:23:49 | B788 | D | 70,3 | 74,3 | 86,1 |
| 12-02-2019 23:29:27 | E195 | D | 65,0 | 65,7 | 74,0 |
| 13-02-2019 22:05:58 | A320 | D | 70,7 | 76,4 | 87,3 |
| 13-02-2019 22:50:28 | E195 | D | 63,8 | 65,8 | 74,2 |
| 13-02-2019 22:59:03 | B738 | D | 67,8 | 73,1 | 83,5 |
| 13-02-2019 23:04:45 | E75S | D | 62,8 | 64,4 | 75,1 |
| 13-02-2019 23:14:40 | E190 | D | 65,9 | 68,2 | 78,2 |
| 13-02-2019 23:25:57 | B788 | D | 70,5 | 74,7 | 86,6 |
| 14-02-2019 22:00:07 | E195 | D | 63,3 | 64,9 | 76,1 |
| 15-02-2019 00:54:40 | B788 | D | 72,4 | 76,8 | 87,3 |
| 16-02-2019 23:20:56 | B788 | D | 69,8 | 73,5 | 85,2 |
| 17-02-2019 22:52:31 | E190 | D | 63,5 | 65,1 | 73,5 |
| 17-02-2019 23:08:36 | E195 | D | 63,1 | 64,0 | 72,1 |
| 19-02-2019 22:44:21 | B734 | D | 63,3 | 65,3 | 75,3 |
| 19-02-2019 22:51:27 | E195 | D | 65,5 | 67,7 | 78,5 |
| 19-02-2019 23:12:13 | B788 | D | 70,3 | 75,0 | 86,1 |
| 20-02-2019 22:15:47 | B752 | D | 63,8 | 64,6 | 74,2 |
| 20-02-2019 22:18:33 | B734 | D | 65,0 | 68,9 | 78,1 |
| 20-02-2019 22:57:48 | B788 | D | 70,1 | 74,7 | 85,3 |
| 21-02-2019 05:56:45 | CRJ9 | D | 65,5 | 68,7 | 82,1 |
| 21-02-2019 22:03:37 | E195 | D | 65,4 | 67,7 | 81,7 |
| 21-02-2019 22:57:09 | CRJ7 | D | 64,5 | 66,6 | 80,8 |
| 21-02-2019 23:01:05 | CRJ9 | D | 64,0 | 65,7 | 75,7 |
| 21-02-2019 23:05:44 | E195 | D | 64,6 | 65,9 | 76,4 |
| 21-02-2019 23:09:44 | DH8D | D | 63,2 | 64,9 | 74,7 |
| 21-02-2019 23:20:51 | E195 | D | 64,7 | 66,7 | 76,1 |
| 21-02-2019 23:29:03 | B788 | D | 72,7 | 78,5 | 88,9 |
| 21-02-2019 23:36:02 | E170 | D | 72,8 | 78,6 | 88,5 |
| 22-02-2019 22:01:38 | A320 | D | 64,0 | 66,0 | 75,2 |
| 22-02-2019 22:59:38 | E195 | D | 65,6 | 69,6 | 77,0 |
| 22-02-2019 23:48:08 | E195 | D | 63,5 | 64,6 | 73,9 |
| 23-02-2019 23:18:11 | B788 | D | 68,9 | 74,0 | 83,8 |

| Data i godz. Zdarzenia | Samolot | Operacja* | L _{Aeq} | L _{Amax} | L _{AE} |
|------------------------|---------|-----------|------------------|-------------------|-----------------|
| | | | [dB] | [dB] | [dB] |
| 26-02-2019 23:06:53 | B788 | D | 70,4 | 73,4 | 85,6 |
| 27-02-2019 23:00:21 | B788 | D | 66,5 | 69,1 | 80,3 |
| 27-02-2019 23:07:26 | E75S | D | 63,1 | 65,0 | 74,6 |
| 28-02-2019 22:55:58 | E75S | D | 64,4 | 66,3 | 78,0 |
| 28-02-2019 23:38:37 | B788 | D | 71,3 | 75,5 | 86,4 |

LEGENDA

- Samolot – typ statku powietrznego
- Operacja: A – lądowanie, D – start
- L_{Aeq} – równoważny poziom dźwięku dla zdarzenia akustycznego
- L_{Amax} – maksymalny poziom dźwięku dla zdarzenia akustycznego
- L_{AE} – ekspozycyjny poziom dźwięku dla zdarzenia akustycznego
- Kolorem niebieskim oznaczono zdarzenia akustyczne, które miały miejsce w czasie gdy nie były spełnione warunki meteorologiczne².

² Warunki meteorologiczne określone w punkcie D "Referencyjnej metodyki wykonywania ciągłych pomiarów poziomów hałasu wprowadzanego do środowiska przez starty, lądowania i przeloty statków powietrznych w związku z eksploatacją lotnisk oraz kryteria lokalizacji punktów pomiarowych" (Załącznik nr 1 do rozporządzenia Ministra Środowiska z dnia 16 czerwca 2011 r. w sprawie wymagań w zakresie prowadzenia pomiarów poziomów substancji lub energii w środowisku przez zarządzającego drogą, linią kolejową, linią tramwajową, lotniskiem lub portem).

Równoważny poziom dźwięku w porze dnia i w porze nocy
w odniesieniu do jednej doby, wg wskaźników L_{AeqD} i L_{AeqN}
powodowany przez starty, lądowania i przeloty statków
powietrznych

| Dzień miesiąca/ luty 2019r. | Równoważny poziom dźwięku | |
|--------------------------------|------------------------------|------------------------------|
| | Pora dnia L_{AeqD} w dB | Pora nocy L_{AeqN} w dB |
| 1 | 28,8 | 0,0 |
| 2 | 0,0 | 0,0 |
| 3 | 48,0 | 0,0 |
| 4 | 52,2 | 42,2 |
| 5 | 48,9 | 43,9 |
| 6 | 49,4 | 35,2 |
| 7 | 38,0 | 41,3 |
| 8 | 45,2 | 44,9 |
| 9 | 46,3 | 42,2 |
| 10 | 45,4 | 34,1 |
| 11 | 47,9 | 42,2 |
| 12 | 49,6 | 43,9 |
| 13 | 51,5 | 47,1 |
| 14 | 49,7 | 42,8 |
| 15 | 47,9 | 0,0 |
| 16 | 48,8 | 41,3 |
| 17 | 48,7 | 38,9 |
| 18 | 44,4 | 0,0 |
| 19 | 49,0 | 43,1 |
| 20 | 49,3 | 43,3 |
| 21 | 50,2 | 46,0 |
| 22 | 46,8 | 41,9 |
| 23 | 49,5 | 41,3 |
| 24 | 45,5 | 0,0 |
| 25 | 46,3 | 0,0 |
| 26 | 49,5 | 41,3 |
| 27 | 49,3 | 43,0 |
| 28 | 50,7 | 43,0 |

Warunki meteorologiczne dla lotniska:

Ustalane na wysokości: 106,51 m n.p.m.

| Wielkości ustalone | Wartości maksymalne w danym miesiącu | Wartości minimalne w danym miesiącu | Wartości średnie miesięczne |
|--------------------------------------|--------------------------------------|-------------------------------------|-----------------------------|
| Prędkość i kierunek wiatru* [m/s /°] | | | |
| Temperatura [°C] | 14,0 | -7,0 | 3,2 |
| Wilgotność względna [%] | 100 | 40 | 78 |
| Ciśnienie atmosferyczne [hPa] | 1033,4 | 983,2 | 1007,6 |

| | |
|--|--|
| stan pogody w okresie wykonywania pomiaru: | |
| inne spostrzeżenia | |

*Dla pomiarów okresowych

W tabelach zawierających zestawienia zdarzeń akustycznych zarejestrowanych w punktach pomiarowych, zaznaczono kolorem niebieskim okresy, w których nie były spełnione warunki meteorologiczne, określone w punkcie D "Referencyjnej metodyki wykonywania ciągłych pomiarów poziomów hałasu wprowadzanego do środowiska przez starty, lądowania i przeloty statków powietrznych w związku z eksploatacją lotnisk oraz kryteria lokalizacji punktów pomiarowych" (Załącznik nr 1 do rozporządzenia Ministra Środowiska z dnia 16 czerwca 2011 w sprawie wymagań w zakresie prowadzenia pomiarów poziomów substancji lub energii w środowisku przez zarządzającego drogą, linią kolejową, linią tramwajową, lotniskiem lub portem), a także wystąpiły zakłócenia od innych źródeł hałasu.

